

شکل 1 انحنای اصلی در یک نقطه از سطح

(3) و (4) چگونگی محاسبه انحنای گوسی و متوسط را با استفاده از انحنای اصلی و همچنین تغییرات سطح نشان می‌دهند.

$$K = k_1 k_2 = \frac{LN - M^2}{2(EG - F^2)} \quad (3)$$

$$H = \frac{k_1 + k_2}{2} = \frac{EN - 2FM + GL}{2(EG - F^2)} \quad (4)$$

در روابط (3) و (4)،  $M = r_{xy} \cdot n$ ،  $L = r_{xx} \cdot n$ ،  $G = r_y \cdot r_y$ ،  $F = r_x \cdot r_x$ ،  $E = r_{yy} \cdot n$  بوده و  $N = r_{yy} \cdot n$

می‌باشد. همچنین  $k_1$ ،  $k_2$  در این روابط انحنای اصلی می‌باشند.

انحنای اصلی  $k_1$ ،  $k_2$  بوسیله انحنای گوسی  $K$  و انحنای متوسط  $H$  طبق رابطه (5) محاسبه می‌شود.

$$\begin{cases} k_1 = H - \sqrt{H^2 - K} \\ k_2 = H + \sqrt{H^2 - K} \end{cases} \quad (5)$$

خمیدگی<sup>4</sup> تعریفی دیگر برای تعیین انحنای سطح است که مشتق شده از انحنای اصلی سطح است. این پارامتر معروف چگالی انحنای سطح است و با استفاده از مفهوم انرژی، شدت و ضعف تغییرات انحنا را نشان می‌دهد. رابطه (6) چگونگی تعیین خمیدگی را نشان می‌دهد.

$$C = \sqrt{\frac{(k_1^2 + k_2^2)}{2}} \quad (6)$$

واریانس سطح<sup>5</sup> برای اندازه‌گیری انحنای موضعی، از نسبت میان حداقل مقدار ویژه و مجموع مقدارهای ویژه ماتریس کوواریانس، بهره می‌برد. این تعریف از انحنای موضعی توسط هوپ<sup>[3]</sup> پیشنهاد شده و تعییر انحنای هندسی نیز نامیده می‌شود، زیرا این روش تغییرات انحنای موضعی را بجای انحنای موضعی اندازه می‌گیرد<sup>[9]</sup>. باید در نظر داشت که واحد انحنای گوسی  $K$  معکوس مربع فاصله است اما واحد واریانس سطح بدون بعد است. هر مقدار بردار ویژه از ماتریس کوواریانس تغییرات فاصله‌ای را در مسیر بردار ویژه مرتبط ارائه می‌کند. نسبت حداقل مقدار ویژه و مجموع مقدارهای ویژه، واریانس سطح  $M_{cc}(p_i)$  است<sup>[10]</sup>.

$$M_{cc}(p_i) = \frac{\lambda_1}{\sum_{i=1}^3 \lambda_i} \quad (7)$$

4- Curvedness  
5- Surface Variance

عملول به دو دسته تقسیم می‌شوند. دسته اول، برآش سطح، شامل روش‌هایی است که در آن یک سطح پارامتری بر همسایگی‌های هر نقطه برآزش می‌شود. این روش‌ها یک تکنیک عمومی برای تخمین انحنای اصلی است. دقیق این روش‌ها معمولاً با روش حداقل مربعات محاسبه می‌گردد و همیشه وابسته به مدل پارامتری است. دسته دوم، روش گسسته، روش‌هایی را در بر می‌گیرد که انحنای داده‌های نقاط گسسته را بر اساس روابط بسط تعريف انجنا، تقریب می‌زنند. در روش دوم از محاسبه حداقل مربعات اجتناب می‌شود. بر اساس برخی پژوهش‌های انجام شده روش‌های برآش سطح عملکرد بهتری نسبت روش‌های گسسته دارند، اما روش‌های گسسته بدليل سرعتشان جذابیت خاص خود را دارند<sup>[6]</sup>.

انحنای یک خاصیت هندسی از جزء سطح است و می‌تواند تغییرات شکل سطح را بیان نماید. انحنای سطح به دوران و جابه‌جایی ناوردا است و تبدیلات جابه‌جایی و دوران تأثیری بر آن ندارد<sup>[7]</sup>. انحنای سطوح به لحاظ اهمیت یک از موضوعات مهم در کاربردهای مختلف است که با ابرهای نقاط مرتبط می‌باشند بشمار می‌رود. در مورد سطوحی که بر پایه نقاط ایجاد می‌گردد، انحنای سطوح در کاربردهای بخش‌بندی سطوح، ایجاد مدل، هم‌مرجع‌سازی و حذف نویزها از اهمیت بسزایی برخوردار است<sup>[8]</sup>. در صورت وجود روابط تحلیلی سطح، تعیین انحنای آن در مختصات کارتزین توسط رابطه (1) صورت می‌پذیرد.

$$k_c = \frac{|x'y'' - y'x''|}{(x'^2 + y'^2)^{3/2}} \quad (1)$$

که  $x'$  و  $y'$  مشتقهای مرتبه اول و  $x''$  و  $y''$  مشتقهای مرتبه دوم می‌باشند. بدليل فقدان روابط تحلیلی سطوح، عملآ استفاده از این رابطه برای تعیین انحنای سطح، ابرهای نقاط این امکان پذیر نمی‌باشد. در برخی روش‌های تعیین انحنای سطوح ابرهای نقاط، با برآش یک سطح بر نقطه مورد بررسی و همسایگی‌های آن، انحنای سطح بدست می‌آید. در برخی روش‌های دیگر با استفاده از مختصات نقطه و همسایگی‌های آن بردار نرمال سطح محاسبه گردیده و سپس انحنای سطح به کمک آن تخمین زده می‌شود. یکی از روش‌های تعیین انحنای سطح برآش یک سطح درجه 2 بر نقاط همسایه است. در این روش یک سطح درجه 2 که از رابطه (2) تعیین می‌کند بر نزدیکترین  $k$  همسایگی نقطه  $p$  برآش می‌شود تا انحنای سطح در نقطه  $p$  بدست آید.

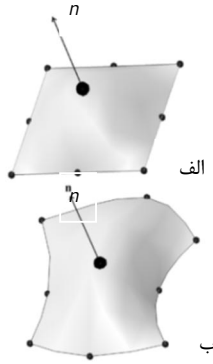
$$z = r(x, y) = a_0 x^2 + a_1 y^2 + a_2 xy + a_3 x + a_4 y + a_5 \quad (2)$$

روش حداقل مربعات برای تخمین پارامترهای درجه 2 مورد استفاده قرار می‌گیرد و انحنای گوسی 1  $K$  و انحنای متوسط 2  $H$  با استفاده از تغییرات هندسی محاسبه می‌گردد. انحنای اصلی 3 سطح می‌بین حداکثر و حداقل انحنای سطح در یک نقطه هستند<sup>[8]</sup>. برای تعیین انحنای اصلی از دایره بوسان استفاده می‌شود. دایره بوسان در یک منحنی دایره‌ای است که در آن نقطه با منحنی بیشترین تماس را دارد می‌باشد و مقدار انحنا برابر یک تقسیم بر شعاع دایره بوسان است ( $\frac{1}{r} = k$ ). در یک سطح بیشترین مقدار انحنا و کمترین مقدار انحنا به عنوان داده شده‌اند. انحنای گوسی از ضرب کردن مقادیر انحنای اصلی در یکدیگر بدست می‌آید و همچنین انحنای متوسط مقدار میانگین انحنای اصلی می‌باشد که روابط

1- Gaussian Curvature

2- Mean Curvature

3- Principal Curvatures



شکل 2 الف- بردار نرمال استخراج شده از داده های دارای شبکه ب- بردار نرمال استخراج شده از داده های فاقد شبکه

$$Y = n_i^T \sum_{i=1}^k (X_i - O_i)(X_i - O_i)^T n_i \quad (11)$$

شکل خلاصه شده رابطه (11) را می توان به شکل رابطه (12) نشان داد.

$$Y = n_i^T M_{\text{cov}} n_i \quad (12)$$

ماتریس  $M_{\text{cov}}$  یک ماتریس  $3 \times 3$  متقارن و نیمه معین مثبت می باشد.  $\lambda_i^3, \lambda_i^2, \lambda_i^1$  مقادیر ویژه غیر منفی ماتریس  $M_{\text{cov}}$  هستند [11]. بردارهای ویژه ارتو نرمال مرتبه با مقادیر ویژه،  $\xi_i^3, \xi_i^2, \xi_i^1$  می توانند به نحوی ساخته شوند که:

$$M_{\text{cov}} \xi_i^j = \lambda_i^j \xi_i^j \quad j = 1, 2, 3 \quad (13)$$

یک بردار دلخواه می تواند به شکل ترکیبی خطی از بردارهای ویژه رابطه (14) نمایش داده شود.

$$\xi_i = c_i^1 \xi_i^1 + c_i^2 \xi_i^2 + c_i^3 \xi_i^3 \quad (14)$$

از آنجایی که بردارهای ویژه ارتوگونال هستند:

$$\xi_i \cdot \xi_i = c_i^{1^2} + c_i^{2^2} + c_i^{3^2} \quad (15)$$

با توجه به اینکه  $\xi_i$  بردار واحد است، رابطه (15) برابر یک می شود و در نتیجه

$$M_{\text{cov}} \xi_i = c_i^1 \lambda_i^1 \xi_i^1 + c_i^2 \lambda_i^2 \xi_i^2 + c_i^3 \lambda_i^3 \xi_i^3 \quad (16)$$

با توجه به اینکه  $\xi_i^1, \xi_i^2, \xi_i^3$  مقادیر ویژه ماتریس  $M_{\text{cov}}$  هستند می توان رابطه (17) نتیجه گرفت:

$$M_{\text{cov}} \xi_i = c_i^1 \lambda_i^1 \xi_i^1 + c_i^2 \lambda_i^2 \xi_i^2 + c_i^3 \lambda_i^3 \xi_i^3 \quad (17)$$

در حالیکه  $\lambda_i^1 < \lambda_i^2 < \lambda_i^3$

$$\xi_i^T M_{\text{cov}} \xi_i = c_i^{1^2} \lambda_i^1 + c_i^{2^2} \lambda_i^2 + c_i^{3^2} \lambda_i^3 \geq \lambda_i^1 \quad (18)$$

شکل مربعی رابطه (18) دارای این مفهوم است که مقدار این رابطه نمی تواند از کمترین مقدار غیر منفی مقادیر ویژه کمتر باشد. نتیجه گرفته می شود بردار ویژه متناظر با کمترین مقدار ویژه رابطه (18) را کمینه می کند. اکنون برای آنکه مقدار  $\gamma$  را در رابطه (12) کمینه شود کافیست به جای  $n_i$  بردار  $\xi_i^1$  جایگزین گردد. لذا می توان نتیجه گرفت که جهت بردار نرمال بر سطح همان جهت بردار  $\xi_i^1$  است.

فرض کنید که دو نقطه  $x_i, x_j \in S$  از لحاظ هندسی نزدیک هستند. به

در این رابطه  $\lambda_1$  کمترین مقدار ویژه و  $\lambda_3$  مقدار ویژه است.

در این پژوهش روش جدیدی برای تخمین انحنای سطح ابر نقاط، پیشنهاد می گردد. با توجه به اینکه هدف از تخمین انحنای سطح در این پژوهش بکارگیری آن در کاربردهای مرتبط با ابرهای نقاط می باشد لذا روش پیشنهادی، بر مبنای روش گسسته بنا نهاده شد، تا بتواند با سرعت بیشتری تخمین انحنای را انجام دهد. رویه تخمین انحنای دارای پنج مرحله است. که این مراحل عبارتند از:

الف- تعیین 20 نقطه همسایگی برای تک تک نقاط ابر

ب- محاسبه بردار نرمال اولیه

ج- انتخاب 8 همسایگی های همگن

د- محاسبه بردار نرمال تصحیح شده هر نقطه با کمک همسایگی های همگن آن نقطه

ه- تخمین انحنای چتری سطح برای هر یک از نقاط داده تمامی این مراحل و نحوه انجام آنها در بخش های 2 الی 4 توضیح داده شده است. قابلیت های این روش، نیز در بخش 5 ارائه گردیده و کارآیی روش پیشنهادی در کاربردهای مختلف بررسی گردیده است.

## 2- تخمین بردار نرمال

این بخش چگونگی محاسبه بردار نرمال هر یک از نقاط ابر نقاط را ارائه می کند. هوپ و همکارانش [3] روشی را برای محاسبه جهت صفحات مماس برای هر نقطه در ابر نقاط پیشنهاد می کنند. در این پژوهش، از روش مشابه برای تخمین بردار نرمال استفاده می شود. برای یک نقطه دلخواه  $P_i \in S \subset R^3$ ، در روش هوپ بردار نرمال بر اساس مختصات همسایگی ها، تخمین زده می شود. همسایگی ها با علامت  $N(P_i)$  نشان داده می شود و  $N$  به نزدیکترین مجاورت های  $K$  متعلق به  $P_i$  اشاره دارد، جایی که  $K$  با توجه به نیاز، انتخابی است. برای محاسبه بردار نرمال، مرکز  $O_i$  مربوط به  $N(P_i)$  ابتدا محاسبه می شود. برای اندازه گیری بردار نرمال، ماتریس مرتبه کوواریانس  $N(P_i)$  زده می شود. برای تخمین این ماتریس، طبق رابطه (8) شکل می گیرد.

$$M_{\text{cov}} = \sum_{x_i \in N(P_i)} (X_i - O_i)(X_i - O_i)^T \quad (8)$$

یکی از  $K$  همسایگی نقطه  $P_i$  و  $O_i$  مرکز همسایگی ها می باشد.

اگر  $\lambda_i^3, \lambda_i^2, \lambda_i^1$  مقادیر ویژه ماتریس  $M_{\text{cov}}$  باشند و بردارهای ویژه متناظر با هریک از مقادیر ویژه بردارهای  $\xi_i^3, \xi_i^2, \xi_i^1$  باشند و همچنین  $\lambda_i^3 > \lambda_i^2 > \lambda_i^1$  باشند،  $\xi_i^1$  بردار نرمال نقطه  $P_i$  است. شکل 2 بردارهای نرمال ایجاد شده با این روش را نشان می دهد.

برای تعیین بردار نرمال نقطه دلخواه  $P_i$  از ابر نقاط، رابطه (9) را می توان بر اساس همسایگی های نقطه مد نظر بنا نهاد.

$$Y = \sum_{i=1}^k [(X_i - O_i) \cdot n_i]^2 \quad (9)$$

برای بدست آوردن بردار نرمال در نقطه دلخواه  $P_i$  از ابر نقاط، باید مقدار  $Y$  کمینه گردد. بنابراین رابطه (9) به شکل رابطه (10) بازنویسی می گردد.

$$Y = \sum_{i=1}^k n_i^T (X_i - O_i)(X_i - O_i)^T n_i \quad (10)$$

از آنجایی که  $O_i$  و  $X_i$  مقادیر مشخصی دارند رابطه (11) بدست می آید.

ایجاد مشاهدات چندضلعی و تعیین فصل مشترک‌های چندضلعی‌ها به منظور مشخص نمودن تعیین همسایگی‌های یک نقطه در ابر نقاط، روش دیگری برای تعیین همسایگی‌های یک نقطه در ابر نقاط است [2]. از آنجایی که تولید مشاهدات به شکل زنجیره‌ای انجام می‌پذیرد نقطه شروع در مشاهدی از همیت بسازی برخوردار است. زمانیکه نقاط شروع مشاهدی باشد، همسایگی‌های یک نقطه در ابر نقاط یکسان نخواهد بود و در نتیجه بردار نرمال تخمین زده از نقاط همسایگی یک نقطه از ابر نقاط، در صورت تغییر مشبندی، تغییر خواهد کرد. این موضوع به شکل آشکاری بر روی ثبات تخمین بردار نرمال با استفاده از مشبندی تأثیر می‌گذارد.

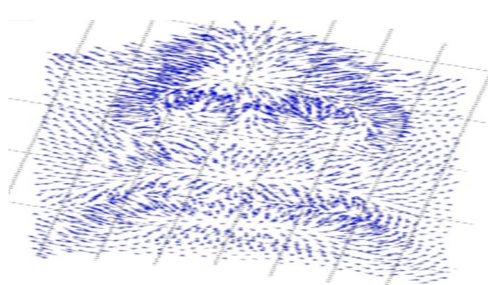
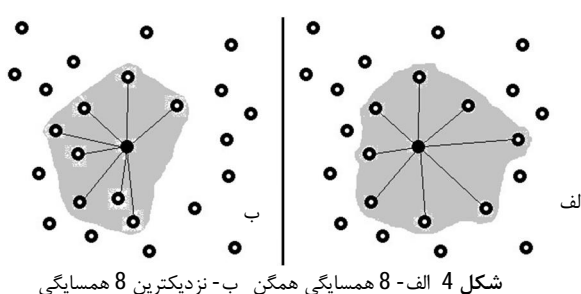
به منظور ثبات تخمین بردار نرمال با استفاده از مشبندی، می‌توان برای تعیین همسایگی‌ها از مشاهدی به روش مثلث‌سازی دلوانی<sup>3</sup> استفاده نمود. مثلث‌سازی دلوانی، با کمک دوگانگی هندسی و دیاگرام ورونوی<sup>4</sup> مش لازم را تولید می‌نماید و در این روش نقطه شروع مشاهدی تأثیری بر مش تولید شده ندارد. دیاگرام ورونوی مستقل از چگالی و توزیع نقاط داده است و از آن مهمن‌تر اینکه نقاط همسایگی ورونوی، همسایگی‌های را مشخص می‌کند که به نحو قابل اتكابی، نماینده هندسه محلی سطح هستند. مش دلوانی در هر حالتی کمترین حجم یک مدل سه‌بعدی را استخراج می‌نماید. با افزایش تراکم نقاط، تقریب شکل و مزیت‌های مش دلوانی بهبود می‌یابد [14].

در پژوهش حاضر از روش ارائه شده توسط فورگی نژاد و خلیلی [15] به نام همسایگی همگن، برای تعیین همسایگی‌های نقاط در ابر نقاط استفاده گردید. در این روش برای تعیین همسایگی‌ها علاوه بر فاصله، چگونگی توزیع همسایه‌ها در جهات مختلف، نیز مد نظر قرار می‌گیرند. همسایگی‌های بدست آمده از این روش همسایگی‌های همگن نامیده می‌شوند. شکل 4 نمونه‌ای از انتخاب همسایگی‌های همگن را نشان می‌دهد و تفاوت انتخاب نقاط به نحو مورد نظر با انتخاب نزدیکترین همسایگی‌ها در شکل 4 نشان داده شده است. بدليل اینکه یک ابر نقاط از تعداد قابل توجهی نقطه تشکیل گردیده و انجام یک عملیات هر چند ساده بر روی تمامی ابر نقاط امری زمان بر محسوب می‌شود، اکثر پژوهش‌گران خطاهای بوجود آمده در اثر نامتوازن بودن همسایگی‌ها را در نظر نمی‌گیرند. لذا در این پژوهش تلاش گردید تا از روشنی با حجم محاسبات کم برای انتخاب همسایگی‌ها استفاده گردد. در پژوهش حاضر تعداد همسایگی‌های همگن 8 همسایه در نظر گرفته شد. به منظور یافتن 8 همسایگی همگن یک نقطه در ابر نقاط ابتدا 20 نقطه نزدیک به نقطه مورد بررسی انتخاب می‌گردد و بر روی صفحه مماس در نقطه مورد بررسی همانگونه که در شکل 5 نشان داده شده تصویر می‌شود. برای یافتن همسایگی‌هایی که از نظر جهت یکنواخت توزیع گشته باشند از چرخ تعادل نشان داده شده در شکل 6 استفاده می‌گردد. در حالت ایده‌آل، زمانیکه بردار

صورت ایده‌آل وقتی داده‌ها متراکم باشند و سطح نیز هموار باشد، بردارهای نرمال مرتبط  $n_i$ ،  $n_i$  تقریباً موازی خواهند بود، و عبارتی  $1 \pm n_i \approx n_i$  می‌آید، تغییر جهت 180 درجه‌ای بدنهند و در جهت مقابل بردار نرمال قرار بگیرند. جهات بردارهای نرمال بر اساس جهت بردار نقطه شروع تعیین می‌شوند. اگر در طول پیمایش،  $n_j < n_i$  و بردار کنونی نرمال جهت  $n_i$  را مشخص کرده باشد،  $n_j$  بردار نرمال بعدی با  $n_i - n_j$  جایگزین خواهد شد و به این ترتیب تمامی بردارهای نرمال در یک سمت سطح قرار می‌گیرند. شکل 3 بردارهای نرمال یک ابر نقاط را که طبق رویه مذکور یکنواخت شده‌اند، نشان می‌دهد.

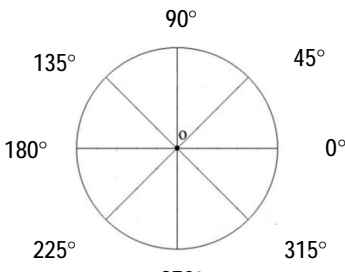
### 3- شناسایی نقاط همسایگی

بردار نرمال یک مشخصه هندسی سطح سه‌بعدی است و برای هر نقطه از سطح می‌توان بردار نرمال را به عنوان یکی از خواص هندسی آن سطح مشخص نمود. تخمین قابل اعتماد بردار نرمال یک نقطه از ابر نقاط، بستگی به انتخاب درست نقاط همسایگی آن نقطه دارد. پژوهشگران بسیاری تعداد ثابتی از نزدیکترین همسایگی‌های اقلیدسی نقاط را برای تخمین بردار نرمال یک نقطه مشخص مورد استفاده قرار داده‌اند. با توجه به اینکه همسایگی‌های یک نقطه بر اساس یک  $k$  ثابت، که میان تعداد همسایگی‌ها است، تعیین می‌گردد به این همسایگی‌ها، نزدیکترین  $k$  همسایگی‌ها<sup>1</sup> گفته می‌شود. نزدیکترین  $k$  همسایگی‌ها برای تعیین صفحه مماس بر یک نقطه [3] یا برآش یک سطح درجه 2 [12] مورد استفاده قرار می‌گیرند. روش‌های تعیین همسایگی مبتنی بر نزدیکترین  $k$  همسایگی‌ها با وجود اینکه در بسیاری از کاربردها مورد استفاده قرار گرفته‌اند، دارای دو ضعف می‌باشند. نزدیکترین  $k$  همسایگی‌های مورد اشاره ممکن است در مواردی که داده‌ها دارای شبکه‌بندی با فرمت ثابتی نیستند، برای تخمین بردار نرمال مناسب نباشند. مقدار  $k$  نیز برای تمام کاربردها یکسان نبوده و بسته به کاربرد مورد نظر و داده‌های ابر نقاط تعیین می‌شود [1]. روش دیگری که بر اساس فواصل اقلیدسی همسایگی‌های یک نقطه از ابر نقاط را مشخص می‌کند، کره همسایگی<sup>2</sup> است. در این روش نقاطی که داخل کره‌ای با شاعع مشخص و مرکز نقطه‌ای که قصد بدست آوردن همسایگی‌های آن وجود دارد، قرار می‌گیرند به عنوان همسایگی‌های نقطه مدنظر انتخاب می‌گردد. این روش‌ها بدليل ساده بودن عمومیت یافته‌اند و در پژوهش‌های بسیاری برای تعیین نقاط همسایگی مورد استفاده قرار گرفته‌اند، اما نتایج چندان رضایت‌بخش نیست مخصوصاً وقتی توزیع نقاط یکنواخت نباشد [13].

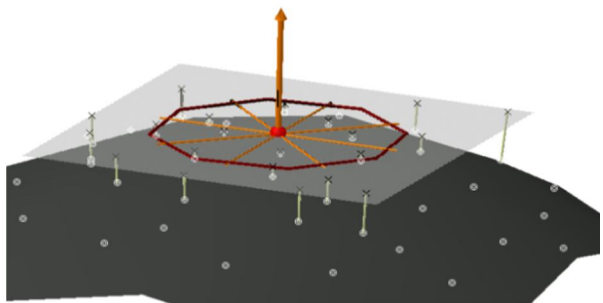


شکل 3 بردارهای نرمال یکنواخت شده

1- k Nearest Neighbors (k-NN)  
2- Ball-Neighbor



شکل 6 چرخ تعادل برای 8 همسایگی همگن



شکل 5 تصویر کردن نزدیکترین همسایگی‌ها بر روی صفحه مماس

تفاضل همسایگی و نقطه مورد بررسی  $p$  در امتداد پره‌های چرخ تعادل قرار گیرد و با آن اختلاف زاویه‌ای نداشته باشد، توزیع همسایگی‌ها کاملاً همگن است.

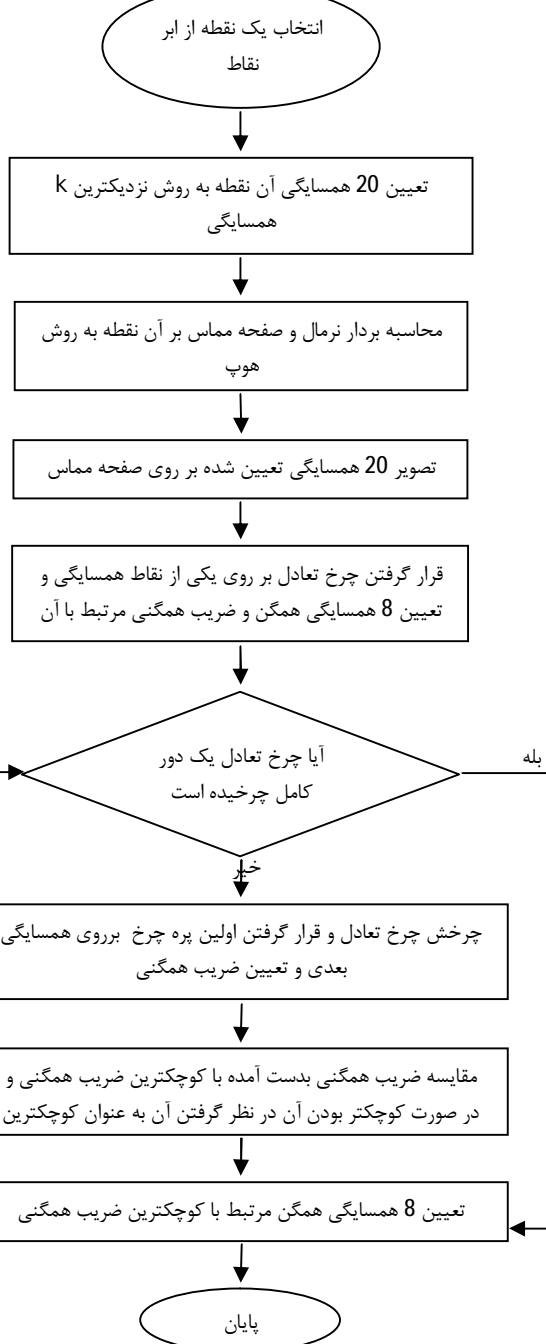
رویه انتخاب همسایگی همگن بدین شرح است: ابتدا نقطه مرکزی چرخ تعادل 0 بر روی نقطه مورد بررسی  $p$  در امتداد اولین همسایگی و جهت اولین پره چرخ تعادل با بردار تفاضل اولین همسایگی و مرکز چرخ تعادل 0 همجهت می‌گردد. برای هر کدام از پره‌های چرخ تعادل یک نقطه همسایگی از میان 20 همسایگی، که دارای کمترین اختلاف زاویه‌ای بین جهت پره و جهت بردار تفاضل همسایگی و مرکز چرخ تعادل انتخاب می‌گردد. ضریب همگنی  $H$  برای همسایگی‌های انتخاب شده طبق رابطه (19) بدست می‌آید.

$$H = \left( \sum_{i=1}^8 |\alpha_i| + \text{bias} \right) \times \left( \sum_{i=1}^8 d_i \right) \quad (19)$$

$\alpha$  اختلاف زاویه‌ای بین جهت پره و جهت بردار تفاضل همسایگی انتخاب شده و مرکز چرخ تعادل می‌باشد،  $d$  عدد ثابت و  $\text{bias}$  فاصله بین همسایگی انتخاب شده و مرکز چرخ تعادل است.

ضریب همگنی معرف دو خاصیت از همسایگی‌های یک نقطه می‌باشد. همانگونه که رابطه (19) نشان می‌دهد با افزایش فاصله همسایگی‌ها از نقطه مورد بررسی ضریب همگنی افزایش می‌یابد بنابراین این ضریب نشان‌دهنده دوری و نزدیکی همسایگی‌ها می‌باشد. از طرف دیگر در صورتیکه جهت بردار تفاضل همسایگی‌ها و مرکز چرخ تعادل با جهت پره‌ها اختلاف داشته باشند این اختلاف  $\alpha$  باعث افزایش مقدار ضریب همگنی می‌گردد. لذا می‌توان نتیجه گرفت هرچقدر مقدار ضریب همگنی کمتر باشد همسایگی‌ها حتی المکان دارای نزدیکترین فواصل به نقطه مورد بررسی با توزیع یکنواخت حول آن نقطه می‌باشند. در نظر گرفتن مقدار ثابت در رابطه (19) بدین دلیل بوده است که در صورتیکه در حالت ایده‌آل هیچ‌گونه اختلاف  $\alpha$  وجود نداشته باشد تأثیر فاصله تا نقطه مورد بررسی در محاسبه ضریب همگنی حذف نگردد.

در مرحله بعد پس از اینکه ضریب همگنی برای اولین نقطه بدست آمد، چرخ تعادل حول نقطه 0 شروع به چرخش نموده و جهت اولین پره آن با بردار تفاضل دومین نقطه از مجموعه 20 همسایگی و مرکز چرخ تعادل 0 همجهت می‌گردد. همانند مرحله اول برای هر کدام از پره‌های چرخ تعادل یک نقطه همسایگی از میان 20 همسایگی، که دارای کمترین اختلاف زاویه‌ای بین جهت پره و جهت بردار تفاضل همسایگی و مرکز چرخ تعادل انتخاب می‌گردد و ضریب همگنی برای همسایگی‌های انتخاب شده مجدداً بدست می‌آید. این کار برای تمامی مجموعه 20 همسایگی تکرار می‌گردد. در نهایت همسایگی‌های مرتبط با کوچکترین مقدار ضریب همگنی به عنوان همسایگی همگن انتخاب می‌گردند. به منظور مشخص شدن صریح‌تر، مراحل انتخاب همسایگی‌ها در قالب یک روند نما در شکل 7 نشان داده شده است.



شکل 7 روند نمای تعبیین همسایگی همگن

انحنای کاهش می‌یابد. در صورتیکه سطح تخت باشد این بردارها بر بردار نرمال سطح عمود گشته لذا مقدار انحنای چتری سطح برابر صفر خواهد گشت. به دلیل اینکه در حین تبدیلات دوران و جابه‌جایی موقعیت نقاط همسایگی نسبت به نقطه مورد بررسی ثابت است بنابراین این روش تعیین انحنای که فقط از مختصات همسایگی نقاط در ابر نقاط استفاده می‌نماید نسبت به این تبدیلات ناوردا می‌باشد. از طرف دیگر در تعیین مقدار انحنای از بردارهای یکه استفاده می‌شود که باعث می‌شود در صورت تغییر فاصله نقاط به یک نسبت مساوی که در حین بزرگنمایی اتفاق می‌افتد راستای بردارها تغییر ننموده و در نتیجه مقدار انحنای چتری ثابت می‌ماند.

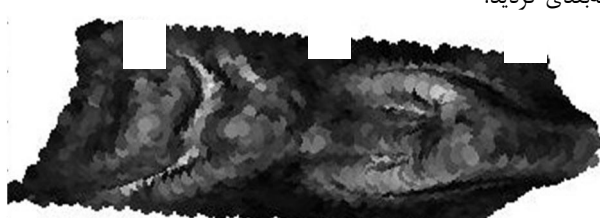
## 5- بکارگیری انحنای چتری در کاربردهای مختلف و نتایج

### 5-1- کاربرد دیداری

با افزودن ویژگی رنگ به ابر نقاط می‌توان به برخی خصوصیات سطح بی برد. در برخی پژوهش‌ها [16] به منظور بررسی کیفی انحنایهای سطح ویژگی انحنای برای هریک از نقاط محاسبه می‌شود و بر اساس مقدار انحنای به نقطه مورد نظر رنگی اختصاص داده شده که نشان‌دهنده شدت انحنای در آن نقطه است. در پژوهش حاضر نیز برای بررسی کیفی محاسبه انحنای چتری برای یک ابر نقاط انحنای چتری تمامی نقاط محاسبه گردید و سپس هر نقطه بر اساس مقدار انحنای با سطح متفاوتی بین سیاه و سفید نمایش داده می‌شود. در صورت صفر بودن مقدار انحنای چتری نقطه با رنگ سیاه نمایش داده و با افزایش مقدار انحنای رنگ نقطه خاکستری شده و در بیشترین مقدار انحنای چتری نقطه به شکل کاملاً سفید رنگ نمایش داده می‌شود. شکل 9 مقدار انحنای چتری ابر نقاط نشان داده در شکل 3 را با استفاده از سطوح خاکستری نشان می‌دهد. ابر نقاط نمایش داده در شکل 9 از نظر کیفی نشان‌دهنده کارآیی قابل قبول این روش تخمین انحنای در ابرهای نقاط دارد. ابر نقاط مورد آزمون از انواع سطوح پیچیده تشکیل گردیده و شکل بوجود آمده از تخمین انحنایها نشان از درستی تخمین انحنای با روش پیشنهادی دارد.

### 5-2- تعیین منحنی‌ها و خطوط در ابر نقاط

از انحنای برای تشخیص لبه‌ها خطوط و منحنی‌های خاص یک قطعه بکار می‌رود. در این پژوهش به منظور ارزیابی روش تخمین انحنای چتری، از آن برای استخراج منحنی موجی شدن سطح برش، در برش جت آب همراه با ذرات ساینده استفاده گردید. همانگونه که در شکل 10 نشان داده شده است سطح برش بدیل کاهش انرژی ذرات ساینده و جت آب در عمق‌های بیشتر برش شکل موجی خاصی پیدا می‌نماید. موجی شدن سطح ناشی از برش جت آب استریشن<sup>1</sup> ناییده می‌شود. به منظور مشخص نمودن معادله منحنی موج‌های ایجاد شده در سطح برش، لبه‌های برش قطعه بریده شده با فرآیند جت آب همراه با ذرات ساینده از جنس آلیاژ تیتانیوم Ti-6Al-4V اسکن شده‌اند گردید.



شکل 9 نمایش انحنای چتری با استفاده از سطوح خاکستری

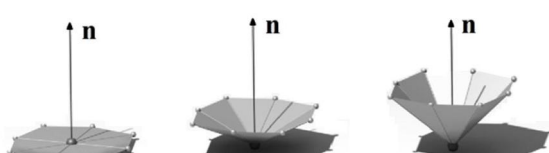
## 4- انحنای چتری

انحنای سطوح و در نظر گرفتن یک انحنای محلی برای نقاط سطح به عنوان یک ویژگی راه دیگری را برای حل چالش‌های مرتبط با استخراج داده‌ها از ابرهای نقاط گشوده است. انحنای یک خاصیت هندسی از جزء سطح است و می‌تواند تغییرات شکل سطح را بیان نماید. انحنای نسبت به دوران و جابه‌جایی ناوردا است و تبدیلات جابه‌جایی و دوران تأثیری بر آن ندارد. در پژوهش حاضر روش جدیدی برای تعیین انحنای ابرهای نقاط تعریف گردیده که نیازی به برازش سطح بر روی نقاط نداشته و فقط از مختصات همسایگی‌ها استفاده می‌نماید. این روش جدید علاوه بر ناوردا بودن به تبدیلات جابه‌جایی و دوران نسبت به مقیاس نیز ناوردا بوده و بزرگنمایی تأثیری بر مقدار انحنای محاسبه ندارد. هدف از تخمین انحنای سطح در کار حاضر استفاده از آن در کاربردهای مرتبط با ابرهای نقاط است. برخی از این کاربردها استخراج لبه‌ها، نویزدایی ابر نقاط، بخش‌بندی ابرنقاط، کاهش داده‌ها و هم‌مرجع‌سازی ابر نقاط می‌باشند.

برای محاسبه مقدار انحنای چتری در مرحله اول بر کمک 20 همسایگی نقطه مورد نظر از روش هوپ بردار نرمال سطح بدست آمده و پس از آن با تصویر این همسایگی‌ها بر روی صفحه مماس در آن نقطه با روش توضیح داده شده در بخش 3، تعداد 8 همسایه همگن انتخاب می‌شود. بردار نرمال تصحیح شده با استفاده از همسایگی‌های انتخاب شده مورد محاسبه قرار می‌گیرد. در نهایت مقدار انحنای چتری  $k_{um}$  بر اساس جمع تصاویر بردارهای واحد تفاضل همسایگی‌ها و نقطه مورد بررسی، بر بردار نرمال سطح طبق رابطه (20) بدست می‌آید.

$$(20) \quad k_{um} = \sum_{i=1}^8 \text{ABS}\left(\frac{(N_i - p)}{|N_i - p|} \cdot n\right)$$

$N$  بردار نرمال،  $N_i$  مختصات همسایگی و  $p$  مختصات نقطه مورد بررسی است. بنابراین مقدار انحنای در این روش برای هر نقطه بسته به موقعیت نقاط همسایگی و جهت بردار نرمال بین صفر تا هشت متغیر خواهد بود. برای تبیین روش پیشنهادی از بک نقطه مرکزی و 8 همسایگی همگن آن استفاده شده است که این نقاط به همراه همسایگی‌های آن‌ها تداعی کننده شکل یک چتر می‌باشند. به همین دلیل نام این روش تعیین انحنای ابرهای نقاط، انحنای چتری گذاشته شده است. وضعیت نقاط همسایگی در سه وضعیت بسته، نیمه بسته و باز چتر در شکل 8 نشان داده است و انحنای چتری مرتبط با هر کدام از وضعیت‌ها به همراه مختصات همسایگی‌ها در جدول 1 آورده شده است. شکل 8 نشان‌دهنده در حقیقت بیان کننده وضعیت 8 همسایگی همگن نسبت به نقطه مورد بررسی است، بردار نشان داده شده در شکل 8 نیز بردار نرمال سطح در نقطه مورد بررسی می‌باشد. همانگونه که نتایج انحنای‌های چتری بدست آمده نشان می‌دهد با بسته شدن چتر تصویر بردارهای حاصل از نقاط همسایگی و نقطه مرکزی بر روی بردار نرمال سطح بزرگتر بوده و در نتیجه بر اساس رابطه (20) مقدار انحنای چتری بزرگتر خواهد گردید. با باز شدن چتر تصویر بردارهای مذکور کوچکتر شده و مقدار



شکل 8 یک نقطه و 8 همسایگی آن در سه وضعیت باز، نیمه بسته و باز

جدول 1 مختصات نقاط و همسایگی‌های نشان داده شده در شکل 8 و انحنای چتری مرتبط

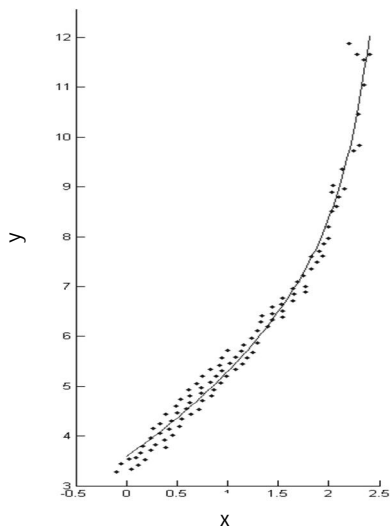
انحنای چتری	نقطه مورد بررسی	وضعیت چتر	همسایگی 1 (mm)	همسایگی 2 (mm)	همسایگی 3 (mm)	همسایگی 4 (mm)	همسایگی 5 (mm)	همسایگی 6 (mm)	همسایگی 7 (mm)	همسایگی 8 (mm)
5/4775	1	بسه	0/2	0	1/8	2	1/8	1	1/8	0/2
	0		1	0/2	1	1/8	2	1/8	1	0/2
	1		1	1	1	1	1	1	1	0/2
3/4058	1	نیمه بسته	0/2	0	1/8	2	1/8	1	1/8	0/2
	0		1	0/2	1	1/8	2	1/8	1	0/2
	0/5		0/5	0/5	0/5	0/5	0/5	0/5	0/5	0/5
0	1	باز	0/2	0	1/8	2	1/8	1	1/8	0/2
	0		1	0/2	1	1/8	2	1/8	1	0/2
	0		0	0	0	0	0	0	0	0

با جدا نمودن نقاط با انحنای بیشتر و برازش منحنی بر آن معادله منحنی موجی شدن سطح در برش طبق رابطه (21) بدست می‌آید. ضریب همبستگی R بین داده‌ها و معادله منحنی 0/98 می‌باشد. داده‌ها به همراه منحنی برازش شده در شکل 12 نشان داده شده است.

$$f(x) = 3.594e^{0.386x} + 0.0002035e^{3.992x} \quad (21)$$

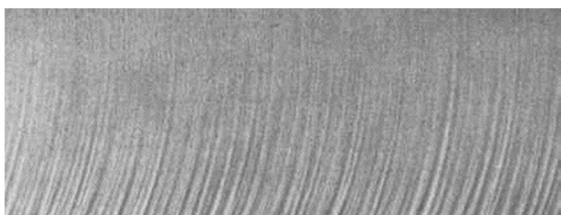
### 5-3- هم‌مرجع‌سازی ابرهای نقاط

اسکنر لیزری به طور کلی با نمونه‌برداری و ارائه سه بعدی تعداد بسیار زیادی از نقاط سطوح اشیاء، سطوح را بازیابی می‌نماید. از آنجا که اسکنرهای لیزری دارای یک میدان دید محدود می‌باشند، برای جمع آوری داده‌های کلیه سطوح یک شی نیاز به داده‌برداری از جهات مختلف وجود دارد که این داده‌ها در دستگاه‌های مختصات مختلفی با توجه به موقعیت اسکنر نسبت به قطعه بدست می‌آیند. داده‌های استخراج شده برای بازیابی کلیه سطوح یک قطعه باید به یک سیستم مختصات واحد تبدیل گردند. رویه تبدیل مختصات ابرهای نقاط به یک سیستم مختصات، هم‌مرجع‌سازی ابرهای نقاط نامیده می‌شود [7].

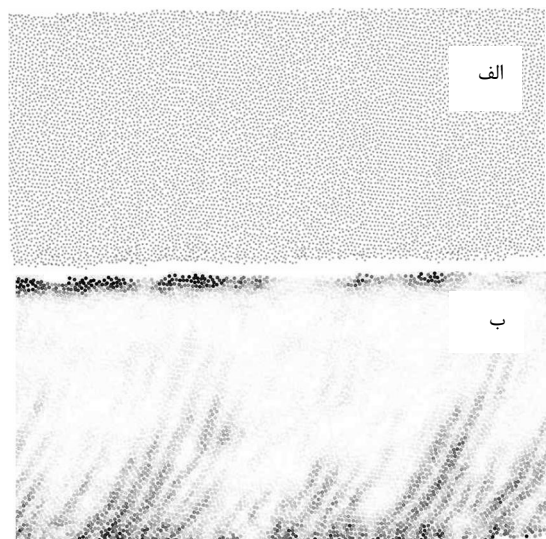


شکل 12 برازش منحنی بر نقاط با ویژگی انحنای چتری بیشتر

به منظور تعیین منحنی موج‌ها ابتدا نقاط شکل موج با استفاده از انحنای چتری مشخص می‌شود. پس از تعیین نقاط با مقدار انحنای بیشتر، منحنی استریشن با استفاده از مختصات این نقاط به دست می‌آید. شکل 11 ابر نقاط سطح برش خورده را نمایش می‌دهد. در قسمت ب شکل 11 به منظور نمایش نقاط انتخاب شده برای تعیین منحنی نقاط با انحنای بیشتر تیره‌تر گردیده‌اند و نقاط قرار گرفته بر روی سطوح تخت به رنگ سفید نمایش داده شده‌اند. در حقیقت سطوح خاکستری نشان داده شده در شکل برای هر نقطه بیان کننده انحنای چتری در آن نقطه می‌باشند.



شکل 10 سطح برش خورده توسط برش جت آب



شکل 11 الف- ابر نقاط سطح برش خورده ب- سطوح خاکستری انحنای چتری سطح برش خورده

جدول 2 خطای هم‌مرجع‌سازی دو روش تخمین انحنا

انحنا	خطای هم‌مرجع‌سازی (mm)	مقدار میانگین انحنا
0/0016	0/2734	واریانس سطح
0/0071	0/1675	انحنای چتری

$$Error = \sum_{i=1}^{30} |p_i^{\text{ref}} - p_i^{\text{ind}}| \quad (23)$$

$p_i^{\text{ref}}$  موقعیت نقاط کنترلی در ابر نقاط مرجع

$p_i^{\text{ind}}$  موقعیت نقاط کنترلی در ابر نقاط دوم پس از هم‌مرجع‌سازی

همانگونه که نتایج حاصله نشان می‌دهد کارآیی و دقت روش پیشنهادی در سطح بالاتری قرار دارد. بررسی کمی انجام شده در مورد هم‌مرجع‌سازی بر روی یک مثال انجام گردیده و با هدف اثبات برتری انحنای چتری صورت پذیرفته است و فقط به منظور بررسی کاربردی بودن این روش تعیین انحنا انجام شده است.

## 6- نتیجه گیری

در این مقاله روش جدیدی با نام انحنای چتری برای تخمین انحنای سطوح ابرهای نقاط ارائه گردید. این روش تعیین انحنا با استفاده از بردار نرمال سطح در نقطه مورد بررسی و مختصات نقاط همسایگی همگن مقدار انحنای مرتبط با هر نقطه را محاسبه می‌نماید. روش ارائه گردیده از داده‌های گستته استفاده نموده و نیازی به برازش سطح بر روی نقاط برای بدست آوردن انحنای موضعی سطح ندارد. به منظور ارزیابی کارآیی روش پیشنهاد شده از آن در 3 کاربرد مختلف استفاده گردید. در کاربردهای دیداری و استخراج منحنی روش انحنای چتری از نظر کیفی مورد بررسی قرار گرفت. برای آزمون کمی نیز از هم‌مرجع‌سازی استفاده شد و نتایج حاصله با روش واریانس سطح مقایسه گردید. نتایج حاصل از بکارگیری انحنای چتری در کاربردهای دیداری، استخراج منحنی و هم‌مرجع‌سازی نشان از کاربردی بودن این روش تعیین انحنای سطوح ابرهای نقاط دارد.

## 7- مراجع

- [1] D. O. Yang, H. Feng, On the normal vector estimation for point cloud data from smooth surface, *Computer-Aided Design*, Vol. 37, No. 10, pp. 1071–1079, 2005.
- [2] H. Woo, E. Kang, S. Wang, KH. Lee, A new segmentation method for point cloud data, *International Journal of Machine Tools and Manufacture*, Vol. 42, No. 2, pp. 167–178, 2002.
- [3] H. Hoppe, T. DeRose, T. Duchamp, J. McDonald, W. Stuetzle, Surface reconstruction from unorganized points, *Proceedings of the 19th annual conference on computer graphics and interactive techniques*, pp1. 71–80, 1992.
- [4] X. Zexiao, X. Shang, L. Xuyong, A high-accuracy method for fine registration of overlapping point clouds, *Image and Vision Computing*, Vol. 28, No. 4, pp. 563–570, 2010.
- [5] G. Schaufler, HW. Jensen, Ray tracing point sampled geometry, *Proceedings of the 11th eurographics workshop on rendering*, pp. 319–328, 2000.
- [6] M. Zhihong, C. Guo, M. Yanzhao, K. Lee, Curvature estimation for meshes based on vertex normal triangles, *Computer-Aided Design*, Vol. 43, No. 12, pp. 1561–1566, 2011.
- [7] B. He, Z. Lin, Y.F. Li, An automatic registration algorithm for the scattered point clouds based on the curvature feature, *Optics & Laser Technology*, Vol.46, No. 1, pp. 53–60, 2013.
- [8] J. Jiang, J. Cheng, X. Chen, Registration for 3-D point cloud using angular-invariant feature, *Neurocomputing*, Vol. 72, No. 16, pp. 3839–3844, 2009.
- [9] L. Linsen, *Point cloud representation*, Technical Report, Faculty of Computer Science, University of Karlsruhe, 2001.

به منظور ارزیابی کمی کارآیی روش پیشنهادی، هم‌مرجع‌سازی دو ابر نقاط توسط انحنای بسته آمده انجام پذیرفت. به منظور بررسی کارآیی انحنای چتری در هم‌مرجع‌سازی از یک ابر نقاط شامل 500 نقطه به عنوان ابر نقاط مرجع، یک ابر نقاط کوچکتر برگرفته از آن شامل 173 نقطه استفاده گردید. 30 نقطه از نقاط ابر کوچکتر به منظور کنترل خطای ثابت در نظر گرفته شد همچنین موقعیت این نقاط در ابر نقاط مرجع ثبت گردید و مختصات سایر نقاط طبق رابطه (22) با کمکتابع رندم یکنواخت، مقداری تغییر کرد. سپس مختصات نقاط ابر نقاط دوم در یک ماتریس چرخش ضرب گردید. در نهایت هم‌مرجع‌سازی بر اساس انحنای بسته آمده صورت پذیرفت. شکل 13 ابر نقاط قبل و بعد از هم‌مرجع‌سازی را نشان می‌دهد.

$$\begin{cases} x_{\text{new}} = x + (2 \times \text{RND} - 1) \times d_m \times 0.01 \\ y_{\text{new}} = y + (2 \times \text{RND} - 1) \times d_m \times 0.01 \\ z_{\text{new}} = z + (2 \times \text{RND} - 1) \times d_m \times 0.01 \end{cases} \quad (22)$$

که در این رابطه  $d_m$  میانگین فاصله نقاط در ابر نقاط است.

در مرحله هم‌مرجع‌سازی نقاط با انحنای مشابه بین دو ابر نقاط تشخیص داده شده و با کمک آنها انتطباق دو ابر نقاط صورت می‌پذیرد. در صورتیکه هم‌مرجع‌سازی کاملاً دقیق صورت پذیرفته باشد، 30 نقطه کنترلی که مختصات آنها ثابت نگه داشته شده است بر 30 نقطه ثبت شده از ابر نقاط مرجع منطبق می‌گردند و در غیر اینصورت اختلاف بوجود آمده بین هر نقطه کنترلی در دو ابر نقاط به عنوان خطای نظر گرفته می‌شود. مقدار خطای طبق رابطه (23) محاسبه می‌گردد. جدول 2 نتایج حاصل از هم‌مرجع‌سازی را با استفاده از دو روش متفاوت تعیین انحنا نشان می‌دهد.



شکل 13 الف- دو ابر نقاط قبل از هم‌مرجع‌سازی ب- ابرهای نقاط بعد از هم‌مرجع‌سازی

- [13] J. C. Park, H. Shin, B. K. Choi, Elliptic Gabriel graph for finding neighbors in a point set and its application to normal vector estimation, *Computer-Aided Design*, Vol. 38, No. 6, pp. 619–626, 2006.
- [14] J.D. Boissonnat, Geometric structures for three-dimensional shape representation, *ACM Trans Graph*, Vol. 3, No. 4, pp. 266–286, 1984.
- [15] A. Foorginejad, Kh. Khalili, Using homogeneous neighborhood in point clouds normal vector calculation, *Modares Mechanical Engineering*, Vol. 14, No. 5, pp. 155–163, 2014. (In Persian)
- [16] M. Pauly, M. Gross, L. Kobbelt, Efficient simplification of point sampled surfaces, *Proceedings of IEEE Visualization*, pp. 163–170, 2002.
- [10] K. Bae, D. Lichten, A method for automated registration of unorganised point clouds, *ISPRS Journal of Photogrammetry & Remote Sensing*, Vol. 63, No. 1, pp. 36–54, 2008.
- [11] G.B. Arfken, *Mathematical Methods for Physicists*, 4rd edn., Academic Press Inc., 1995.
- [12] M. Yang, E. Lee, Segmentation of measured point data using a parametric quadric surface approximation, *Comput-Aided Design*, Vol. 31, No. 7, pp. 449–457, 1999.